

ИЗВЕСТИЯ  
ТОМСКОГО ОРДЕНА ОКТЯБРЬСКОЙ РЕВОЛЮЦИИ И ОРДЕНА  
ТРУДОВОГО КРАСНОГО ЗНАМЕНИ ПОЛИТЕХНИЧЕСКОГО  
ИНСТИТУТА ИМЕНИ С. М. КИРОВА

---

---

Том 267

1975

## УРАВНЕНИЕ «КРИВОЙ ЖИЗНИ» ЭЛЕКТРИЧЕСКОЙ ИЗОЛЯЦИИ

В. С. ДМИТРЕВСКИЙ, В. Ф. ГРАФОВ

(Представлена научным семинаром кафедры электроизоляционной и кабельной техники)

Расчет электрической изоляции, определение ее срока службы требуют знания зависимости времени до ее пробоя от напряженности поля (уравнение «кривой жизни»).

Экспериментальное исследование «кривой жизни» изоляции проведено многими авторами [1—8]. В настоящей работе показывается один из возможных путей теоретического получения уравнения «кривой жизни» изоляции.

Флуктуационная теория разрушения материалов при действии механической нагрузки дает [9]:

$$\tau = \tau_0 \exp \left\{ \frac{W - \frac{e \alpha \sigma a}{N \left( 1 - \frac{2m}{m_u} \right)} \ln \frac{2WN \left( 1 - \frac{2m}{m_u} \right)}{\alpha \cdot a \sigma e}}{2kT} \right\}. \quad (1)$$

где  $\tau$  — время разрыва образца;

$\tau_0$  — время релаксации колебаний атома в молекуле;

$W$  — энергия разрыва (диссоциации) связи;

$m$  — молекулярный вес конца цепи, не воспринимающий нагрузки;

$m_u$  — молекулярный вес цепи;

$\alpha$  — коэффициент упорядоченности полимерных цепей, изменяющийся согласно [10] от 1 до 3;

$2kT$  — средняя энергия двух атомов, образующих одну химическую связь.

$$N = \frac{l \cdot N_A \cdot \rho}{M}. \quad (2)$$

где  $N_A$  — число Авогадро,

$\rho$  — плотность,

$M$  — молекулярный вес мономерного звена,

$l$  — длина связи,

$N$  — число связей, приходящихся на единицу сечения образца,

$a$  — характеризует кривизну потенциальной кривой вблизи ее минимума. Для связи С—С

$$a = \frac{l}{3,22}. \quad (3)$$

Разрушение материала определяется величиной подведенной энергии и не зависит от ее природы [11].

В условиях эксплуатации электрическая изоляция подвергается действию электрического поля и механической нагрузки. Увеличение свободной энергии в этом случае составит

$$\Delta W = \Delta W_e + \Delta W_m = \frac{\epsilon E_m^2}{2} + \frac{\sigma^2}{2G_m} = \frac{\sigma_e^2}{2G_m}, \quad (4)$$

где  $\epsilon$  — диэлектрическая проницаемость;

$E_m$  — напряженность электрического поля;

$\sigma$  — механическое напряжение;

$G_m$  — модуль упругости (модуль Юнга);

$\sigma_e$  — эквивалентное механическое напряжение, создающее в материале такое же увеличение свободной энергии, как и одновременное действие электрической и механической нагрузок.

Подставив в 1  $\sigma_e$ , определенное из 4 с учетом 2, 3, и обозначив

$$\gamma = \frac{eM\alpha}{3,22N_A\rho\left(1 - \frac{2m}{m_u}\right)}; \\ Ae^{-bT} = \frac{\alpha e M \sqrt{\epsilon G_m}}{3,22N_A\rho\left(1 - \frac{2m}{m_u}\right)},$$

получим

$$\tau = \tau_0 \exp \left\{ \frac{W - \sqrt{\gamma^2 \sigma^2 + (Ae^{-bT}E_m)^2} \ln \frac{2We}{\sqrt{\gamma^2 \sigma^2 + (Ae^{-bT}E_m)^2}}}{2kT} \right\}. \quad (5)$$

Реальные диэлектрики содержат различные неоднородности, приводящие к возникновению локальных напряженностей поля. Максимальную величину локальной напряженности поля при эллиптической форме неоднородности определим [12]

$$E_m = \frac{4\nu}{4+\kappa+\kappa\nu} \cdot E; \quad (6)$$

$$\nu = \frac{\frac{1}{\rho_1} + j\omega\epsilon_1}{\frac{1}{\rho_2} + j\omega\epsilon_2}, \quad (7)$$

где  $\rho_1$ ,  $\epsilon_1$  и  $\rho_2$ ,  $\epsilon_2$  — удельное объемное сопротивление и диэлектрическая проницаемость неоднородности и материала соответственно;

$E$  — средняя напряженность электрического поля.

Если отношение размера неоднородности в направлении поля к ее диаметру  $y$  больше 1, коэффициент  $x$  найдем

$$x = \frac{2}{y^2 - 1} \left( 2 - \frac{y}{\sqrt{y^2 - 1}} \ln \frac{y + \sqrt{y^2 - 1}}{y - \sqrt{y^2 - 1}} \right). \quad (8)$$

Для простоты запишем

$$E_m = \beta E, \quad (9)$$

где  $\beta$  — коэффициент концентрации локальных напряженностей поля за счет неоднородностей.

Одним из видов неоднородностей в диэлектриках являются газовые включения. Ионизация в газовых включениях приводит к уменьшению срока службы изоляции в результате следующих процессов:

- 1) уменьшения толщины изоляции за счет ее разрушения эрозией с поверхности;
- 2) изменения структуры материала, вызывающего снижение его электрической прочности;
- 3) создания высоких локальных напряженностей поля в диэлектрике.

Работами Артбауэра показано, что пробой изоляции при напряжении, составляющим только 30% от первоначального пробивного, вызвал уменьшение ее толщины за счет эрозии всего на 5—6% [13]. При длительном действии ионизации в газовом включении за счет химических процессов электропроводность полиэтилена возросла на 4 порядка, а кратковременная электрическая прочность уменьшилась только на 10—15% [14].

Отказы изоляции при длительном приложении напряжения не могут быть объяснены только эрозией материала или изменением его структуры под действием ионизации в газовых включениях.

Проводимость ионизированного газа высока и в можно положить равным бесконечности. Тогда величина локальной напряженности поля определяется только  $y$  и средней напряженностью поля. Величину  $y$  приближенно найдем:

$$y = \frac{h}{2r}, \quad (10)$$

где  $h$  — глубина газового включения в направлении поля,

$r$  — радиус газового включения или радиус анодного пятна при больших размерах газового включения вдоль эквипотенциальной поверхности.

В случае плоской поры радиус анодного пятна найдем [15]

$$r = \sqrt{2Dt}, \quad (11)$$

где  $D$  — коэффициент диффузии электронов;

$t$  — время пробега электроном расстояния между двумя стенками включения  $h$ .

Время  $t$  определим

$$t = \frac{h}{U_e E_{np}}, \quad (12)$$

где  $U$  — подвижность электрона;  
 $E$  — пробивная напряженность поля в газе.  
Из [16] известно

$$\frac{D}{U_e} = \frac{kT_e}{q_0}. \quad (13)$$

Решая совместно 10, 11, 12, 13, получим

$$y = \sqrt{\frac{hE_{np}q_0}{8kT_e}}. \quad (14)$$

В этих выражениях:

$k$  — постоянная Больцмана;

$T_e$  — электронная температура в газовом разряде;

$q_0$  — заряд электрона.

Полагая  $T$  равным  $2000^\circ\text{K}$ , определим значение  $y$  при разных  $h$ . Результаты расчетов приведены в табл. 1.

	Таблица 1									
$h$ [ $\mu\text{мм}$ ]	5	10	20	50	80	100	200	300	400	
$y$	16	17,1	19	23	26	27	34	37	42	
$y_1$	1020	1020	728	298	139	114	26	13	6	
$\beta$	72	77	88	112	131	137	131	56	22	

Выражение (14) дает  $y$  в предположении, что радиус анодного пятна равен радиусу электронной лавины. Это явление наблюдается при небольших  $h$ . При больших  $h$  по стенке поры возникает значительная тангенциальная составляющая напряженности поля, приводящая к появлению поверхностных разрядов. Радиус анодного пятна в этом случае будет определяться радиусом кистевого разряда по поверхности, который определим [17]

$$r = \eta C_n^2 U^5 \sqrt[4]{\frac{dU}{dt}}, \quad (15)$$

где  $\eta$  — коэффициент, зависящий от формы приложенного напряжения  $U$ ,

$C$  — удельная поверхностная емкость,

$\frac{dU}{dt}$  — скорость изменения напряжения.

В таблице приводится также значение  $y_1$ , рассчитанное из условия развития разряда по поверхности поры.

Из таблицы видно, что с ростом толщины газового включения  $y$  увеличивается, а  $y_1$  — уменьшается. По-видимому, при включениях толщиной меньше  $100 \mu\text{мм}$  разряды по поверхности поры отсутствуют и величина локальной напряженности поля определяется газовым разрядом по толщине поры. При толщине поры  $200 \mu\text{мм}$  и более локальная напряженность поля определяется поверхностным разрядом во включении. Из этого предположения по формулам (6—9) вычислено  $\beta$ .

Как видно из таблицы 1, в диэлектрике при наличии газового включения, в котором происходит процесс ионизации, создается высокая локальная напряженность поля  $E$ .

Подставляя  $E_m$  из (9) в (5), получим

$$\tau = \tau_0 \exp \left\{ \frac{W - \sqrt{\gamma^2 \sigma^2 + (A e^{-bT} \beta E)^2} \ln \frac{2We}{\sqrt{\gamma^2 \sigma^2 + (A e^{-bT} \beta E)^2}}}{2kT} \right\}. \quad (16)$$

Если  $\sigma$  равно 0, уравнение (16) будет иметь вид

$$\tau = \tau_0 \exp \left\{ \frac{W - A e^{-bT} \beta E \ln \frac{2We}{A e^{-bT} \beta E}}{2kT} \right\}. \quad (16a)$$

При обработке результатов экспериментов часто пользуются зависимостью  $\ln \tau$  от  $E$ . Из соотношения (16a) при  $T = \text{const}$  найдем

$$\begin{aligned} \ln \tau &= B - CE \ln \frac{D}{E}; \\ B &= \ln \tau_0 + \frac{W}{2kT}; \\ C &= \frac{A \beta e^{-bT}}{2kT}; \quad D = \frac{2We^{bT+1}}{A \beta}. \end{aligned} \quad (16b)$$

На рис. 1 по уравнению (16b) построена зависимость  $\ln \tau$  от  $E$ . В общем случае получается вогнутая кривая. На рис. 2, 3 приведены экспериментальные «кривые жизни» по данным [1—8]. Теоретическая и экспериментальная зависимости качественно согласуются между собой.

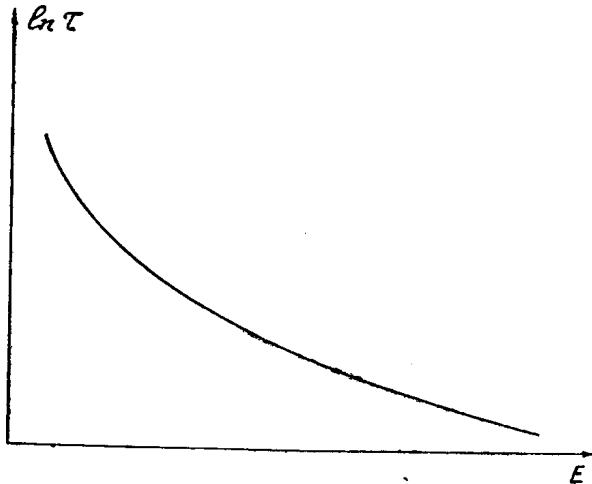


Рис. 1. Теоретическая зависимость  $\ln \tau = f(E)$ .

ду собой. Количественное сравнение затруднено, так как  $\beta$  является случайной величиной и зависит от вида неоднородностей и их размеров и условий проведения экспериментов.

С возрастанием коэффициентов  $\beta$  долговечность изоляции, как видно из (16a), уменьшается. Приведенные в таблице значения  $\beta$  изменяются от толщины газового включения по кривой с максимумом. Следовало ожидать, что долговечность изоляции от толщины газового включения должна изменяться по кривой с минимумом. Эксперименты, приведенные в [18], подтверждают высказанное предположение.

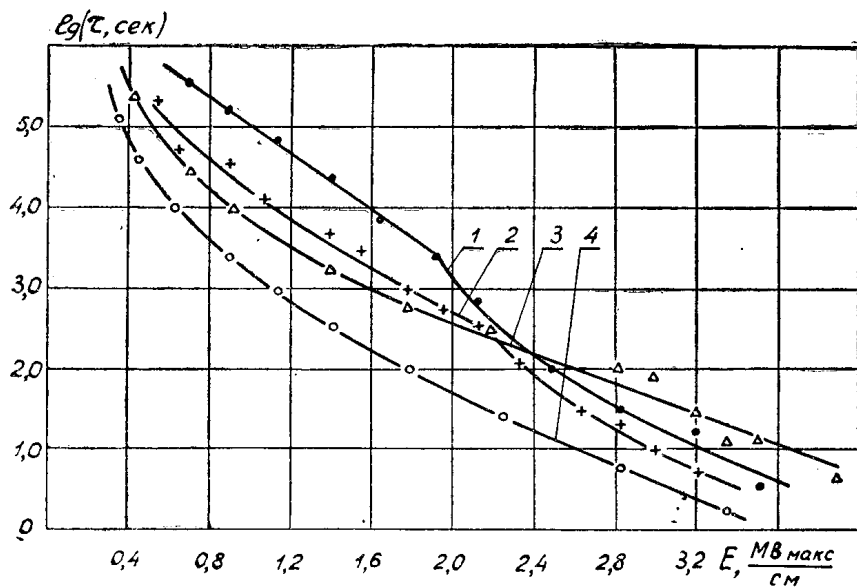


Рис. 2. Зависимость  $\lg t = f(E)$  в переменном поле для пленок ПЭ (1), ПС (2), ПЭТФ (3), ПТФЭ (4) при нормальной температуре по данным [1].

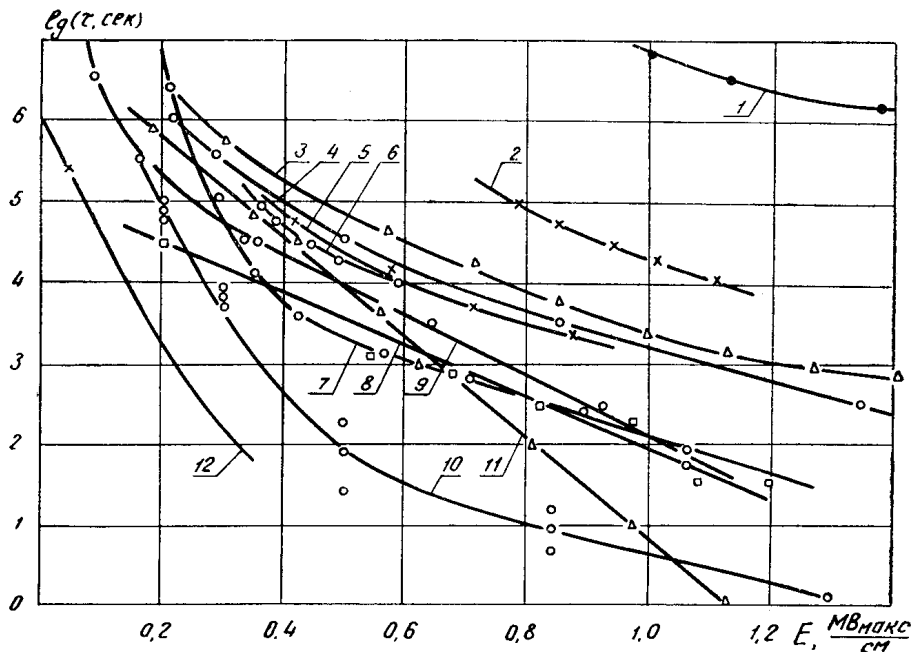


Рис. 3. Зависимость  $\lg t = f(E)$  в переменном поле 1, 4 — ПЭ по данным [5, 4], 6, 7, 8, 9, 10 — ПТФЭ по [8, 7, 2, 4, 3], 2 — ПС по [8], 3, 11 — ПЭТФ по [7, 3], 5 — пропитанная конденсаторная бумага КОН-1 по [6], 12 — триацетатная пленка по [3].

Таким образом, долговечность электрической изоляции определяется локальной напряженностью поля, создаваемой неоднородностью ее структуры. Ионизация в газовых включениях является частным случаем неоднородностей с нелинейной характеристикой.

Выведенное уравнение «кривой жизни» можно использовать для обработки экспериментальных результатов по долговечности материалов и прогнозирования срока службы электрической изоляции.

## ЛИТЕРАТУРА

1. Н. Н. Барабанов, С. Н. Койков, В. А. Фомин, А. Н. Цикин. Ионизационное старение полимерных пленок в широком интервале температуры, напряжения и частоты. «Электромеханика», 1963, № 12, 15—19.
2. Ш. Т. Абзианидзе. Исследование свойств пленки фторопласта с целью применения его для изоляции электрических машин. Научно-техн. бюлл. ЛПИ, «Электромеханика», 1957, № 11.
3. Н. В. Александров, Е. А. Калинина, С. Г. Трубачев. Определение короностойкости электроизоляционных материалов различными методами. «Электротехника», 1961, № 4.
4. А. Р. Хиппель. Диэлектрики и их применение. Госэнергоиздат, 1959.
5. R. G. Rhudy, H. E. Mazanek. Accelerated voltage endurance tests. „Power Apparatus and Systems“ 1960, № 49, 576—580.
6. Д. С. Варшавский. К вопросу об электрической прочности многослойного диэлектрика из пропитанной конденсаторной бумаги при длительном приложении напряжения частотой 50 гц. Изв. вузов, «Энергетика». 1964, № 1, 19—26.
7. Н. Г. Сахно, А. С. Романов. Влияние частоты на стойкость некоторых полимерных пленок к действию электрического напряжения. Сб. «Обмен опытом в электронной промышленности», 1967, вып. 1, 61—73.
8. Ш. Т. Абзианидзе. О длительной электрической прочности некоторых изоляционных материалов и влиянии на них разряда. Тр. Н. И. Эл. техн. ин-та Совнархоза Груз. ССР, 1961, 1, 75—83.
9. А. И. Губанов, А. Д. Чевычелов. К теории разрывной прочности твердых полимеров. ФТТ, 1962, 4, № 4, 928—933.
10. Ф. Бюхе. Разрывная прочность пластиков ниже температуры стеклования. Физика полимеров (сб. статей). Изд-во ИЛ, 1960, 49—57.
11. А. А. Воробьев. Аналогия и различия при температурном, механическом, термическом и электрическом разрушениях твердых диэлектриков. Сб. «Пробой диэлектриков и полупроводников». Изд-во «Энергия», 1964.
12. Г. И. Сканави. Физика диэлектриков (область сильных полей). Изд. физ. мат. литературы, 1958.
13. I. Artbauer, I. Gräc. Der Durchschlag von Kunststoffen unter Einwirkung von Glimentladungen. „Electrie“, 1963, 17, № 4, 120—124.
14. В. Г. Сотников. Влияние частичных разрядов в воздушном слое на некоторые характеристики полиэтилена. Сб. «Электрическая аппаратура и электрическая изоляция». М., «Энергия», 1970, 467—475.
15. Дж. Мик, Дж. Крэгс. Электрический пробой в газах. Изд-во ИЛ, 1960.
16. Ю. Н. Вершинин. Электрический пробой твердых диэлектриков. Изд-во «Наука», СО АН СССР, Новосибирск, 1968.
17. М. Е. Иерусалимов, Н. Н. Орлов. Техника высоких напряжений. Изд-во Киевского университета, Киев, 1967.
18. Н. С. Ильченко, И. Н. Онищук. Срок службы изоляции при выпрямленном напряжении. Сб. «Ионизационное разрушение, короностойкость и электрическая прочность органической высоковольтной изоляции радиоэлектронного электрооборудования (тезисы докладов)». Изд-во Киевского дома научно-технической пропаганды, Киев. 1969.